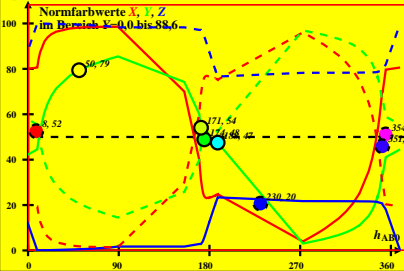


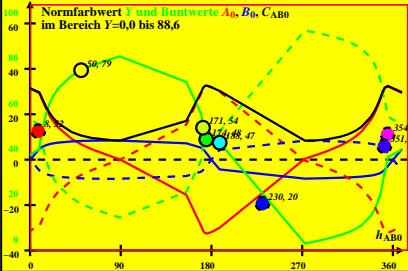
CIE-P25-Daten von -Ostwald-Farben von maximalem Buntwert C_{AB}
 $Y_w=88,6$, $Y_m=520_770$, $B_m=380_520$ und 1-Minus-Daten (- -)



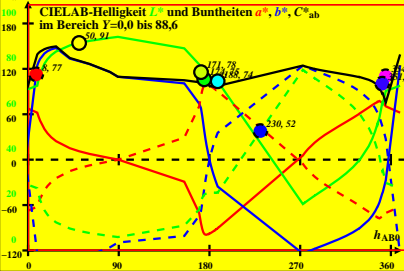
DG301-1 A_1

DG301-8A

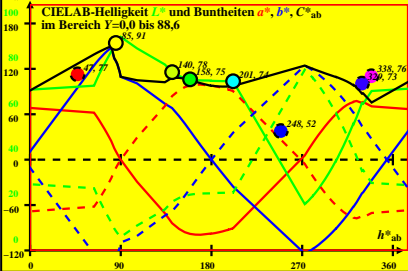
CIE-P25-Daten von -Ostwald-Farben von maximalem Buntwert C_{AB}
 $Y_w=88,6$, $Y_m=520_770$, $B_m=380_520$ und 1-Minus-Daten (- -)



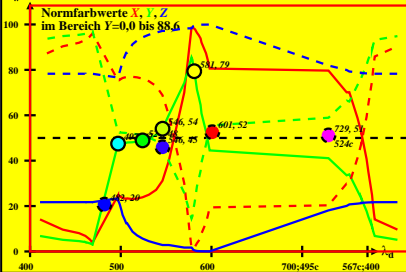
CIE-P25-Daten von -Ostwald-Farben von maximalem Buntwert C_{AB}
 $Y_w=88,6, Y_m=520,770, B_m=380,520$ und 1-Minus-Daten (- -)



CIE-P25-Daten von -Ostwald-Farben von maximalem Buntwert C_{AB}
 $Y_w=88,6, Y_m=520,770, B_m=380,520$ und 1-Minus-Daten (- -)

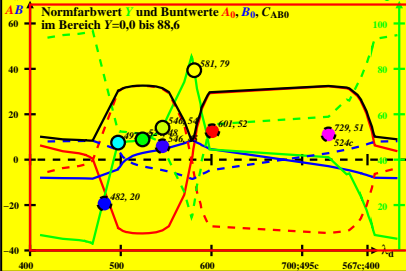


CIE-P25-Daten von -Ostwald-Farben von maximalem Buntwert C_{AB}
 $Y_w=88,6$, $Y_m=520_770$, $B_m=380_520$ und 1-Minus-Daten (- -)



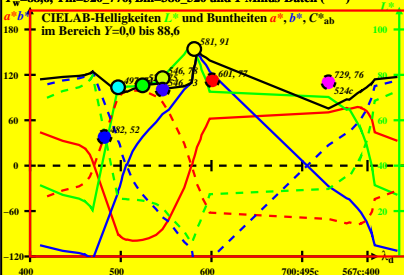
CIE-P25-Daten von -Ostwald-Farben von maximalem Buntwert C_{AB}
 $Y_w=88,6$, $Y_m=520_770$, $B_m=380_520$ und 1-Minus-Daten (- -)

AB Normfarbwert Y und Buntwerte A_0, B_0, C_{AB0}
 im Bereich $Y=0,0$ bis $88,6$



CIE-P25-Daten von -Ostwald-Farben von maximalem Buntwert C_{AB}
 $Y_w=88,6$, $Y_m=520,770$, $B_m=380,520$ und 1-Minus-Daten (- -)

a^*b^* CIELAB-Helligkeiten L^* und Buntheiten a^* , b^* , C^*_{ab}
 im Bereich $Y=0,0$ bis $88,6$



CIE-P25-Daten von -Ostwald-Farben von maximalem Buntwert C_{AB}
 $Y_w=88,6$, $Y_m=520_770$, $B_m=380_520$ und 1-Minus-Daten (- -)

ab Normfarbwert Y und Farbarten a_0 , b_0 , c_{ab0}
 im Bereich $Y=0,0$ bis $88,6$

